



Analysis of Geometrical Errors of XYZAC 5-Axis Milling Machine using BALLBAR Device



ARTICLE INFO

Authors

Shahabzadeh M.^{1*},
Jahedi R.²

¹ Islamic Azad University
Shiraz, Iran.

² Islamic Azad University
Shiraz, Iran.

* Correspondence

Address: Islamic Azad University
Shiraz, Iran.
shahabeaseman@gmail.com

How to cite this article

Shahabzadeh M, Jahedi R. Analysis of Geometrical Errors of XYZAC 5-Axis Milling Machine using BALLBAR Device. Proceedings of 3rd Iranian National Conference on Advanced Machining and Machine Tools (CAMMT). 2023;23(10):223-235.

ABSTRACT

In this research, errors and accuracy of a 5-axis machine tools are investigated using a ballbar device. The focus is on the measurement of positional errors and rotational errors related to rotational axes. Therefore, first, using homogeneous transformation matrices and based on the kinematic chain of machine axes, a mathematical error modeling is done for each axis in order to get an overview of the impact of errors on machine operation. In the following, a method to measure these errors is proposed, and to validate this proposed method, its results are compared with a valid method. Homogeneous transformation matrices (HTMs) are used to create a machine tool model and generate bearing error diagrams due to machine tool geometric errors based on the given experimental design. Simulated payload trajectory patterns can be used to evaluate unique fault effects for detected faults and to diagnose machine tool conditions.

Keywords 5-Axis Machine Tools, Geometric Errors, BALLBAR Test, Machine Tools Accuracy

ماهنه علمي مهندسي مکانیک مدرس، ویژه نامه مجموعه مقالات سومین کنفرانس ملی ماشینکاری و ماشینهای ابزار پیشرفته
مهر ۱۴۰۲، دوره ۲۳، شماره ۱۰، صفحه ۲۲۳-۲۳۵



تجزیه و تحلیل خطاهای هندسی ماشین فرز پنج محور با استفاده از دستگاه بالبار



چکیده

در این پژوهش به بررسی خطاهای دقت یک ماشین ابزار پنج محور با استفاده از دستگاه بالبار پرداخته می‌شود. تمرکز بر اندازه‌گیری خطاهای موقعیتی و خطاهای چرخشی مربوط به محورهای دورانی می‌باشد. بنابراین ابتدا با استفاده ماتریس‌های تبدیل همگن و بر اساس زنجیره سینماتیکی محورهای ماشین، یک مدل‌سازی ریاضی خطاب برای هر محور انجام می‌شود تا یک دید کلی نسبت به تأثیر خطاهای روی کارکرد ماشین به دست آید. در ادامه یک روش برای اندازه‌گیری این خطاهای پیشنهاد می‌شود و برای اعتبار سنجی این روش پیشنهادی، نتایج آن با یک روش معتمد مقایسه می‌شود. ماتریس‌های تبدیل همگن برای ایجاد یک مدل ماشین ابزار و تولید نمودارهای خطاب بالبار به دلیل خطاهای هندسی ماشین‌های ابزار و بر اساس طرح آزمایشی ارائه شده، استفاده می‌شوند. الگوهای مسیر حرکتی بالبار شبیه‌سازی شده را می‌توان برای ارزیابی اثرات خطای منحصر به فرد برای خطاهای شناسایی شده و تشخیص شرایط ماشین ابزار استفاده کرد.

مشخصات مقاله

نویسنده‌ها

محمد حسین شهاب زاده پور^۱
رضا جاهدی^۲

^۱ دانشگاه آزاد اسلامی واحد شیراز
^۲ دانشگاه آزاد اسلامی واحد شیراز

* نویسنده مسئول

آدرس: شیراز شهرک صدرا، پردیس
دانشگاه آزاد
shahabeaseman@gmail.com

کلیدواژه‌ها ماشین فرز پنج محوره، خطاهای هندسی، خطاهای ماشین ابزار، بالبار، دقت ماشین ابزار

۱- مقدمه

استفاده می‌شوند. از نظر نرم افزار کنترل، ماشین‌های دستی معمولی با ماشین‌های مدرن مجهز به کنترل کننده‌های کنترل عددی کامپیووتری (CNC) جایگزین شده‌اند. علاوه بر این، استراتژی‌های درون‌یابی پیشرفت‌ه (Interpolation) و تکنیک‌های جبران نرم افزاری به‌طور گسترشده در دسترس هستند. نوآوری‌ها نه تنها در اصلاح اجزای ماشین‌ابزار، بلکه در توسعه و بهینه‌سازی تپولوژی آن‌ها نیز رخ می‌دهد. ماشین‌ابزارهای ۵ محوره نمونه‌ای عالی برای نشان دادن چنین پیشرفتی هستند. در مقایسه با ماشین‌ابزارهای ۳ محوره معمولی با سه محور خطی که به صورت متعامد پیکربندی شده‌اند، ماشین‌ابزارهای ۵ محوره دارای دو محور چرخشی اضافی هستند. محورهای چرخشی به منظور تنظیم جهت ابزار برش نسبت به قطعه کار طراحی شده‌اند. این به ابزار اجازه می‌دهد تا در زوایای مختلف نسبت به قطعه کار متمایل شود و بنابراین مسیرهای برش احتمالی بیشتری را بدون تنظیمات اضافی فراهم می‌کند. با توجه به درجات آزادی چرخشی اضافی، ماشین‌ابزارهای ۵ محوره مزایای قابل توجهی از جمله کیفیت ماشین‌کاری بهتر و راندمان ماشین‌کاری بالاتر را ارائه می‌دهند. آن‌ها قادر به تولید سطوح پیچیده مانند پروانه یک پمپ و سطوح دارای پیچیدگی‌های خاص بدون فیکسچر یا ابزار برش‌های خاص هستند و مهم‌تر از آن کیفیت پرداخت سطح بهتری را ارائه می‌دهند. بنابراین، آن‌ها به‌طور گسترشده‌ای در انواع صنایع تولیدی، مانند هوایپیماسازی، ساخت قالب، صنایع نفت، گاز، پتروشیمی، صنایع خودرویی و غیره استفاده می‌شوند^[۱].

خطاهای ماشین‌ابزار در عدم دقت اجزای ماشین‌کاری شده تأثیر خواهد گذاشت. این خطاهای در زمان ساخت، مونتاژ و کارکرد ماشین‌ابزار رخ می‌دهند. استفاده از ماشین‌ابزارهای معیوب بدون کالیبراسیون ممکن است به‌طور قابل توجهی بهره‌وری را کاهش دهد و باعث زیان اقتصادی شود. این موضوع در مورد ماشین‌ابزارهای ۵ محوره نیز صادق است^[۲].

در ماشین‌ابزارهای ۵ محوره، دو محور چرخشی یک انعطاف‌پذیری را در ماشین‌کاری ایجاد می‌کنند، ولی سبب ایجاد خطاهای اضافی می‌شوند. بنابراین ماشین‌ابزارهای ۵ محوره در مقایسه با ماشین‌ابزارهای ۳ محوره منابع خطای بیشتری دارند. در نتیجه، به دلیل پیچیدگی در پیکربندی، تعیین منابع خطای یک ماشین‌ابزار ۵ محوره دشوارتر است^[۳]. با این وجود، اطمینان از اینکه دقت موقعیت و چرخشی از نوک ابزار تا قطعه کار در محدوده تلوانی موردنظر باقی بماند، بسیار مهم است، زیرا دقت هندسی و ابعادی اجزای مورد ماشین‌کاری را تعیین می‌کند. این یکی از دغدغه‌های اصلی سازندگان و کاربران ماشین‌ابزار است^[۴].

بدین منظور، این پژوهش به بررسی خصوصیات خطای ماشین‌ابزارهای ۵ محوره می‌پردازد. به‌طور خاص‌تر، محورهای چرخشی به عنوان منبع خطای اصلی ماشین‌ابزارهای ۵ محوره به تفصیل مورد بحث قرار خواهد گرفت.

هنگام استفاده از یک ماشین‌ابزار ۵ محور بسیار حائز است که اطمینان حاصل شود که در محدوده تلوانی هندسی خود کار می‌کند. اما، منابع مختلفی از خطاهای بر صحبت کارکرد آن تأثیر می‌گذارد. آزمایش خطاهای آن‌ها با روش‌های فعلی به تجهیزات گران قیمت و زمان طولانی خواب ماشین برای اندازه‌گیری خطای نیاز دارد. بنابراین این انگیزه ایجاد می‌شود که یک روش ساده و سریع برای شناسایی و مشخص کردن خطاهای هندسی ماشین‌ابزارهای ۵ محور شناسایی شود^[۵].

با استفاده از یک بالبار (DBB) روشی برای مشخص کردن خطاهای هندسی مستقل موقعیت محورهای چرخشی (PIGE) پیشنهاد شده است، که این خطای دلیل نقص در هنگام مونتاژ اجزای ماشین ایجاد می‌شود. در این روش، یک بالبار با طول معمولی برای آزمایش موقعیت PIGE‌ها استفاده می‌شود در حالی که یک بالبار با میله افزایش طول برای آزمایش PIGE‌های چرخشی استفاده می‌شود. این امر باعث کاهش تعداد تنظیمات و زمان برای کالبیره کردن اجزای بالبار می‌شود و در نتیجه کارایی اندازه‌گیری را افزایش می‌دهد. یک روش ایجاد شده برای آزمایش همان PIGE‌ها استفاده می‌شود و از نتایج برای اعتبارسنجی روش توسعه یافته استفاده می‌شود.

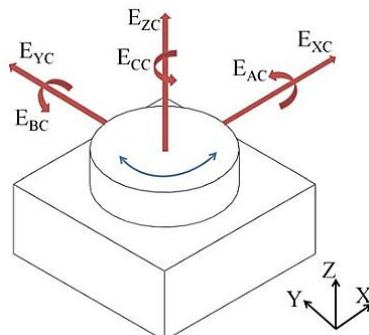
از ماتریس‌های تبدیل همگن (HTMs) برای ایجاد یک مدل ماشین‌ابزار و تولید نمودارهای خطای بالبار به دلیل وجود PIGE‌های مختلف با توجه به نوع آزمون انجام شده استفاده می‌شوند. از الگوهای بالبار می‌توان برای ارزیابی خطاهای منحصر به فرد و تشخیص شرایط ماشین‌کاری ابزار استفاده کرد.

۱-۱- شرح مسأله

امروزه ساخت دقیق در واحدهای تولید به یک ضرورت تبدیل شده است. برای دستیابی به این امر، نیاز به قطعات با دقت بالا به دلیل زیر موردنیاز است^[۶]:

- عملکرد و قابلیت اطمینان محصول بهتر
- قابلیت تعویض بهتر در طول فرآیند مونتاژ
- بازدهی بهتر به دلیل کاهش خرابی محصول بنابراین، روش‌شناسی برای تولید اجزای دقیق، کارآمد و مقرن به صرفه موضوعی قابل توجه در حوزه توسعه تولید است. به دلیلی که ماشین‌کاری مهم‌ترین ابزار تولید است، ماشین‌ابزار به‌طور گسترشده در بخش‌های مختلف صنایع، به عنوان مثال، صنایع هوافضا استفاده می‌شوند. با توجه به پیشرفت‌های اخیر در فناوری‌های تولید ماشین‌ابزار، ماشین‌ابزارهای فعلی می‌توانند به اتوتوماسیون بالایی با دقت هندسی و ابعادی موردنیاز دست یابند. سیستم‌های راهنمای خطی با قابلیت روانکاری و موقعیت‌یابی بهتر بهینه‌سازی شده‌اند. قسمت‌های اسپیندل با سرعت بالا و ابزارهای برشی سخت‌کاری شده به‌طور گسترشده برای ساخت دقیق

خطای هندسی وابسته به موقعیت چرخشی. برای یک شی که حول محور C می‌چرخد، شش خطای هندسی وابسته به موقعیت در شکل ۲ نشان داده شده است. برای همخوان بودن زیرنویس‌ها، خطاهای هندسی وابسته به موقعیت برای محورهای چرخشی به همان شکل محورهای خطی نام‌گذاری می‌شوند.



شکل ۲) خطاهای هندسی وابسته به موقعیت‌های مربوط به محور چرخشی C

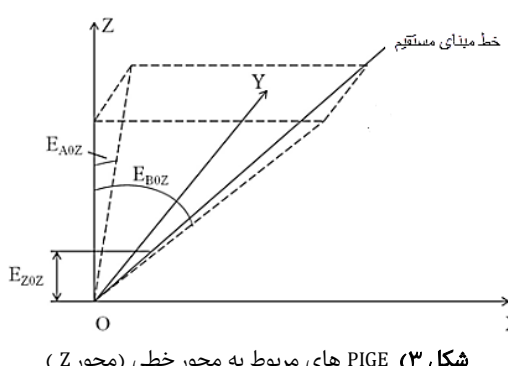
خطاهای هندسی مستقل از موقعیت (PIGE) به دلیل نقص در فرآیند مونتاژ اجزای ماشین ابزار ایجاد می‌شوند. می‌توانند باعث انحرافات ثابت در موقعیت و جهت محورها شوند. با توجه به ماهیت PIGE‌ها، آن‌ها بدون توجه به موقعیت‌هایی که در آن قرار می‌گیرند، به عنوان مقادیر ثابت مدل می‌شوند. در ادامه خطاهای محور خطی و دورانی شرح داده خواهد شد.

برای نشان دادن PIGE محورهای خطی مربوط به یک عضو متحرک (یک محور حرکتی) در ماشین ابزار که حرکتی خطی دارد از شکل ۳ استفاده می‌شود. خط مبنای مستقیم در شکل ۳ نشان‌دهنده استفاده از حداقل مربعات محاسبه می‌شود، که نمایشی از مقدار با استفاده از حداقل مربعات محاسبه می‌شود، که نمایشی از وضعیت واقعی محورها ارائه می‌دهد. خطاهای موقعیت و جهت با توجه به خط مبنای مستقیم و محورهای دستگاه مختصات تعیین می‌شوند. در شکل ۳ خطاهای به صورت زیر هستند:

E_{ZOZ} : خطای موقعیت صفر خطی

E_{A0Z} : خطای جهت‌گیری محور Z در محور A؛

E_{B0Z} : خطای جهت‌گیری محور Z در محور B؛



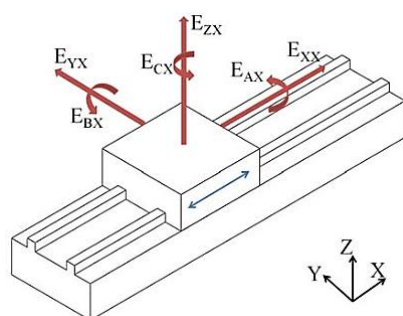
شکل ۳) PIGE های مربوط به محور خطی (محور Z)

۱-۲-۱-روش حل

۱-۲-۱-خطاهای هندسی وابسته به موقعیت (PDGE)

بر اساس سینماتیک بدنه صلب، یک جسم صلب دارای شش درجه آزادی است که موقعیت و جهت آن را در فضای سه بعدی تعیین می‌کند. شش درجه آزادی شامل سه درجه انتقالی و سه درجه چرخشی است. به همین ترتیب، هر درجه آزادی دارای یک خطای جزئی است و مقدار آن وابسته به موقعیت است.

فرضیه رفتار جسم صلب بیانگر این است که خطاهای هندسی وابسته به موقعیت بر موقعیت جسم متحرک نسبت به یک مرجع از پیش تعریف شده وابسته است و تنها تابعی از حرکت اسمی آن است. اگر اجزای متحرک دارای نقص از نظر ساخت باشند، دقت حرکت کاهش می‌یابد و در نتیجه باعث ایجاد خطاهای هندسی وابسته به موقعیت می‌شود. شکل ۱ نمونه‌ای از یک سیستم حرکت خطی را نشان می‌دهد که جهت حرکت اسمی آن محور X است.



شکل ۱) خطاهای هندسی مستقل از موقعیت مربوط به یک سیستم حرکت خطی

در این شکل خطاهای به صورت زیر نام‌گذاری می‌شوند:

E_{XX} : خطای موقعیت خطی در راستای محور X

E_{YX} : خطای هم‌راستایی در راستای محور Y

E_{ZX} : خطای موقعیت خطی در راستای محور Z

E_{AX} : خطای زاویه‌ای حول محور A

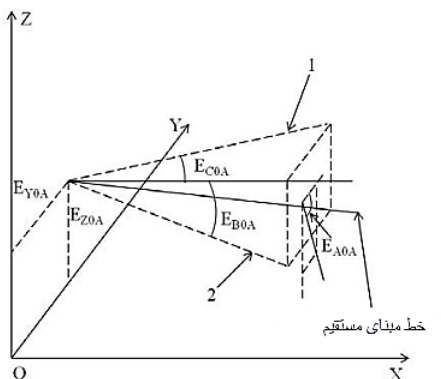
E_{BX} : خطای زاویه‌ای حول محور B

E_{CX} : خطای زاویه‌ای حول محور C

خطای چرخشی حول هر محور به ترتیب با A، B و C مشخص می‌شود. شش خطای PDGE شامل دو خطای حرکت هم‌راستایی در جهات عمود بر جهت حرکت اسمی، یک حرکت خطای موقعیت‌یابی در امتداد جهت حرکت و سه حرکت خطای زاویه‌ای در حول هر محور مختصات است.

خطاهای هندسی وابسته به موقعیت برای محورهای چرخشی به دلیل الگوهای حرکتی چرخشی آن‌ها، تعریف متفاوتی دارند. همچنین برای یک جسم در حال چرخش، شش درجه آزادی وجود دارد. بنابراین منجر به شش خطای هندسی وابسته به موقعیت می‌شود - سه خطای هندسی وابسته به موقعیت انتقالی و سه

روز زمان نیاز دارند، ساده‌تر است. همچنین دقت بالبار می‌تواند به یک میکرون برسد که از دستگاه‌های CNC معمولی دقیق‌تر است. در شکل ۵ مجموعه دستگاه بالبار به همراه ملحقات آن نشان داده شده است که محصول شرکت Renishaw می‌باشد.



شکل ۴) PIGE های مربوط به محور چرخشی A

بالبار اساساً یک وسیله اندازه‌گیری طول یکبعدی با یک کره دقیق در یک انتهایها و یک نیم‌کره فنجانی شکل در انتهای دیگر است بین این دو یک میله کامپوزیتی و یک سنسور LVDT قرارگرفته است. گاهای میله دو سرکروی نیز خوانده می‌شود. طول اسمی میله میانی کامپوزیتی ۱۰۰ میلی‌متر بین مرکز دو کره است. میله‌های افزایش طول به اندازه‌های ۵۰، ۱۵۰، ۳۰۰ میلی‌متر را می‌توان به صورت جداگانه یا ترکیبی برای ارائه شعاع آزمایش تا ۶۰۰ میلی‌متر استفاده کرد.

بالبار در ابتدا برای آزمایش ماشین‌ابزارهای ۳ محوره طراحی شد. محورهای X, Y و Z از طریق سه آزمایش دایره‌ای در سه صفحه اصلی دستگاه مختصات یعنی در سطوح ZX, XY, YZ و ZX مورد بررسی قرار می‌گیرند. یک نمودار شماتیک از مسیرهای آزمایش در شکل ۶ آورده شده است.



شکل ۵) دستگاه بالبار به همراه ملحقات

در یک ماشین فرز ۳ محوره عمودی، آزمون بالبار شامل یک آزمون دایره‌ای کامل در صفحه XY و دو آزمون نیم‌دایره‌ای در

زواياي بین تصویر کردن خط مبنای مستقیم بر روی صفحات YOZ/XOZ و محور Z دو خطای جهت‌گیری هستند که به عنوان خطاهای عمود بودن نیز شناخته می‌شوند. سومین جزء خط، "E_{Z0Z}"، خطای موقعیت صفر خطی محور Z است. در یک سیستم کنترلی عددی (CNC)، این خط را می‌توان نادیده گرفت زیرا این مورد در امتداد جهت حرکت اسمی محور رخ می‌دهد و می‌توان با تنظیم پارامترهای عددی جبران کرد. بنابراین از دید محورهای خطی دو PIGE در نظر گرفته می‌شود.

طبق، PIGE ها با حرف "E" و به دنبال آن یک زیرنویس سه کاراکتری علامت‌گذاری می‌شوند. حرف اول در زیرنویس نام محوری است که به جهت خط اشاره دارد. حرف دوم عدد ۰ و حرف سوم محور حرکتی است.

PIGE های محورهای چرخشی کمی پیچیده‌تر هستند زیرا نه تنها خطاهای جهت‌گیری بلکه خطاهای موقعیت نیز باید در نظر گرفته شوند. شکل ۴ ترکیب خط را برای محور A نشان می‌دهد. هر محور چرخشی دارای پنج PIGE است که شامل دو خطای موقعیت، دو خطای چرخشی و یک خطای موقعیتی صفر زاویه‌ای است. خطای موقعیتی صفر زاویه‌ای را می‌توان از محاسبات حذف کرد زیرا می‌توان آن را در انکودر یا سیستم کنترل کننده عددی جبران کرد. علائم اختصاری خطاهای اشاره در شکل ۸-۱ به شرح زیر است.

E_{AOA} : خطای موقعیتی صفر زاویه‌ای

E_{YOA} : خطای موقعیتی محور A در جهت محور Y

E_{ZOA} : خطای موقعیتی محور A در جهت محور Z

E_{Y0A} : خطای جهت‌گیری محور A در جهت محور B

E_{Z0A} : خطای جهت‌گیری محور A در جهت محور C

همان‌طور که توضیح داده شد، PIGE ها به عنوان خطاهای ثابت در فرآیندهای مدل‌سازی و اندازه‌گیری خط را در نظر گرفته می‌شوند. برای ماشین‌آلات سه محوره، PIGE برای هر محور خطی به عنوان سه خطای عمود برهم بین هر دو محور متعامد اسمی ساده‌سازی می‌شود. برای ماشین‌ابزارهای ۵ محوری، این ساده‌سازی قابل دستیابی است، اما به پیکربندی ماشین‌ابزار بستگی دارد. بنابراین در حالت کلی، PIGE های تحلیل شده در این پژوهش بر اساس نمایش‌های هندسی بالا هستند اما نه PIGE های ساده شده برای یک پیکربندی ماشین‌ابزار خاص.

۱-۲-۱-۱-اندازه‌گیری بالبار

یک سیستم بالبار برای اندازه‌گیری خطای ماشین‌ابزار ۵ محوره انتخاب شده است. بالبار در مقایسه با سایر تجهیزات اندازه‌گیری ارزان است. نحوه کار بالبار در مقایسه با سایر تکنیک‌های اندازه‌گیری که برای تنظیم و اندازه‌گیری به ساعتها یا حتی یک

تجزیه و تحلیل خطاهای هندسی ماشین فرز پنچ محور...

یک ایده، شبیه‌سازی از آزمون برشی یک مخروط با استفاده از یک بالبار برای بررسی خطاهای حرکتی محورهای چرخشی از طریق حرکات پنج محور هم‌زمان ارائه شده است. لی و همکاران برای آزمایش عملکرد دینامیکی محورهای دوار، مسیر جدیدی را پیشنهاد کردند که محورهای A و C به‌طور هم‌زمان بروی یک میز پیشنهاد شود. با استفاده از آزمایش ۵ محوره است حرکت می‌کنند. آن‌ها تعدادی مقاله در مورد کاربردهای مختلف سیستم بالبار منتشر کردند. ایده استفاده از آزمون بالبار به روش مارپیچ نیمکره‌ای سه‌بعدی برای تجزیه و تحلیل دقت حجمی یک ماشین ابزار سه محوره پیشنهاد شد. یک آزمایش چهار مرحله‌ای برای ارزیابی PIGE های محورهای A و C یک ماشین ابزار ۵ محوری میز چرخشی گهواره‌ای ارائه شد. هشت PIGE با موقوفیت آزمایش شدند و با کمک یک فیکسچر جدید، می‌توان آن خطاهای را جبران کرد. این روش‌ها امکانی را برای اندازه‌گیری ماشین ابزار ارائه می‌دهند. با این حال چندین تنظیم در طول آزمایش موردنیاز است که بر دقت اندازه‌گیری تأثیر می‌گذارد. روش جبران خطاهای وابسته به یک وسیله اختصاصی است که به راحتی در دسترس نیست.

اکثر روش‌های ذکرشده در بالا نیاز به تنظیمات متعدد دارند، بنابراین زمان اندازه‌گیری طولانی‌تر می‌شود و خطاهای راه‌اندازی ایجاد می‌شود. روش ارائه شده در این پژوهش قادر است از ایرادات فوق جلوگیری کند.

تفسیر

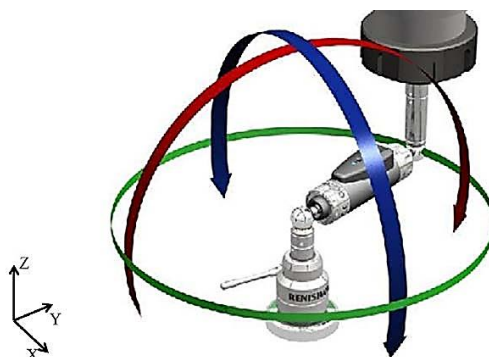
ماتریس تبدیل همگن یک ماشین ابزار ۵ محوره در فرضیه سینماتیک اجسام صلب، شش درجه آزادی به هر جزء ماشین ابزار شامل سه درجه انتقالی و سه درجه دورانی اختصاص می‌باید. بنابراین، یک HTM یک بدن صلب به‌صورت [۱۷، ۱۸] داده می‌شود:

$${}^R T_C = \begin{bmatrix} R_{3 \times 3} & | & T_{3 \times 1} \\ 0 & 0 & 0 & | & S \end{bmatrix} = \begin{bmatrix} r_{ix} & r_{iy} & r_{iz} & t_x \\ r_{jx} & r_{jy} & r_{jz} & t_y \\ r_{kx} & r_{ky} & r_{kz} & t_z \\ 0 & 0 & 0 & 1 \end{bmatrix}$$

که در آن پارامتر R نشان‌دهنده دستگاه مختصات مرجع است که نتایج با توجه به آن بیان می‌شوند و زیرنویس C بیانگر دستگاه مختصاتی است که نتایج تبدیل می‌شوند. R3×3 نشان‌دهنده ماتریس حرکتی مختصات جسم صلب C با توجه به دستگاه مختصات R است. T3×1 بیانگر انتقال از دستگاه مختصات C به دستگاه مختصات مرجع R را نشان می‌دهد. ردیف پایین نشان‌دهنده ضریب مقیاس است. در تئوری اجسام صلب، $S = 1$ و به‌صورت [۱۰۰] داده می‌شود.

در بیان HTM داده شده، حرکات سینماتیک ایدئال محورهای خطی X، Y و Z) با توجه به چارچوب مختصات مرجع R را می‌توان به‌صورت زیر بیان کرد:

صفحات YZ و XZ است. دلیل اینکه آزمایش‌ها در صفحات YZ و XZ فقط به صورت نیم‌دایره قابل انجام هستند، جلوگیری از برخورد بالبار و ماشین ابزار است. سه آزمایش در سه صفحه را می‌توان به‌طور متوالی انجام داد تا این آزمایش در یک فضای سه‌بعدی حجمی تشکیل شود. با استفاده از بالبار ۱۶ منبع خطای شامل خطاهای هندسی و دینامیکی را می‌توان برای سه محور خطی بر اساس نتیجه آزمایش حجمی شناسایی کرد. این امر با تجزیه و تحلیل نمودارهای خطاهای به‌دست‌آمده و مقایسه آن‌ها با نمودار خطاهایی که با شکل‌ها و نمودار استاندارد مشخص شده‌اند، به دست می‌آید. یک مثال معمولی اثر خطای عمود بودن دو محور متعامد اسمی است. شکل‌ها و نمودار استاندارد مشخص شده‌اند، به دست می‌آید. یک مثال معمولی اثر خطای عمود بودن دو محور متعامد اسمی است. نمودار خطای بالبار برای آزمایش صفحه XY بودن خطای یک دایره کامل است، درحالی‌که به دلیل خطای عمود بودن، به شکل یک بیضی اربی تبدیل می‌شود (شکل ۶). محور بزرگ بیضی در جهت زاویه ۴۵ درجه یا ۱۳۵ درجه است که این امر بسته به علامت و اندازه خطای عمود بودن است. با مشاهده اختلاف بین محور بزرگ و محور اسمی می‌توان میزان خطای را مشاهده کرد.



شکل ۶) یک نمای شماتیک از سه صفحه آزمون بالبار

نمایش خطای عمود بر هم دو محور الف: خطای عمود بودن ۰/۰۱ درجه ب: خطای عمود بودن ۰/۰۱ درجه

اخیراً از سیستم بالبار برای ارزیابی عملکرد ماشین‌ابزارهای ۵ محوره استفاده شده است. خطاهای هندسی و دینامیکی به‌طور گستردگی با مسیرهای آزمایشی مشخص موردمطالعه قرار می‌گیرند. این تحقیق از حرکات هم‌زمان، شامل یک محور چرخشی و دو محور خطی شروع می‌شود، که حرکات هم‌زمان را در سه جهت مختلف (شعاعی، مماسی و محوری) تشکیل می‌دهند. هشت PIGE به‌طور مؤثر با روش پیشنهادی اندازه‌گیری می‌شود. با چند تغییر در نحوه آزمایش، شرایط خطای انواع مختلف ماشین‌ابزارهای ۵ محوره را می‌توان تخمین زد. این روش‌ها اکنون در پیش‌نوبیس استاندارد ISO در سال ۲۰۱۲ گنجانده شده است. با این حال، از آنجایی‌که محورهای خطی در اندازه‌گیری‌ها دخالت دارند، جدا کردن خطاهای محورهای خطی از نتایج دشوار است.

نشان داده می‌شود. بنابراین موقعیت و جهت واقعی میز دوار محور C را می‌توان با توجه به چارچوب مختصات مرجع R به صورت زیر بیان کرد:

$${}^R T_{C,actual} = E_{e_{xoc}} \cdot E_{e_{yoc}} \cdot E_{\theta_{xoc}} \cdot E_{\theta_{yoc}} \cdot {}^R T_{C,ideal}$$

از آنجایی که PIGE های چرخشی همگی کمتر از ۱ درجه هستند، فرض تقریب زاویه کوچک ($\theta \approx 1^\circ$ ، $\cos(\theta) \approx 1$ ، $\sin(\theta) \approx \theta$)، زمانی که زاویه $\theta < 1^\circ$ اعمال می‌شود و توانهای دوم حذف می‌شوند. بنابراین ماتریس خطای برای میز چرخشی محور C را می‌توان به صورت زیر ساده کرد:

$${}^R T_{C,actual} = \begin{bmatrix} 1 & 0 & \theta_{yoc} & e_{xoc} \\ 0 & 1 & -\theta_{xoc} & e_{yoc} \\ -\theta_{yoc} & \theta_{xoc} & 1 & 0 \\ 0 & 0 & 0 & 1 \end{bmatrix} \begin{bmatrix} c\theta_c & -s\theta_c & 0 & C_x \\ s\theta_c & c\theta_c & 0 & C_y \\ 0 & 0 & 1 & C_z \\ 0 & 0 & 0 & 1 \end{bmatrix} \times$$

$$\begin{bmatrix} c\theta_c & -s\theta_c & & \\ \theta_{xoc}\theta_{yoc}c\theta_c + s\theta_c & -\theta_{xoc}\theta_{yoc}s\theta_c + c\theta_c & & \dots \\ -\theta_{yoc}c\theta_c + \theta_{xoc}s\theta_c & \theta_{yoc}s\theta_c + \theta_{xoc}c\theta_c & & \\ 0 & 0 & & \end{bmatrix}$$

ها امکان ترکیب عدم دقت یک محور متحرک را با حرکت اسمی سینماتیکی آن فراهم می‌کند. بنابراین ساختار ماشین ابزار می‌تواند به یک سری HTM تجزیه شود و موقعیت نسبی واقعی و جهت هر محور متحرک را توصیف کند. طبق [۲۱، ۱۸، ۱۷]، اگر n جسم صلب به صورت سری به هم وصل شوند و HTM های نسبی بین هر دو محور متواالی مشخص باشند، وضعیت نوک ابزار (دستگاه مختصات n) نسبت به دستگاه مختصات صفرام می‌تواند با ضرب متواالی تمام HTM ها به دست می‌آید:

$${}^0 T_n = \prod_{i=1}^n ({}^{i-1} T_i) = {}^0 T_1 \cdot {}^1 T_2 \cdot {}^2 T_3 \cdot \dots \cdot {}^{n-1} T_n \quad (1-3)$$

که در آن بیانگر ${}^0 T_n$ (n = 0; 1; 2; ...; n) بیانگر ماتریس تبدیل مختصات تبدیل از دستگاه مختصات n-1 به دستگاه مختصات n است.

$${}^R T_{X,ideal} = \begin{bmatrix} 1 & 0 & 0 & X_m + X_x \\ 0 & 1 & 0 & X_y \\ 0 & 0 & 1 & X_y \\ 0 & 0 & 0 & 1 \end{bmatrix}$$

$${}^R T_{Y,ideal} = \begin{bmatrix} 1 & 0 & 0 & Y_x \\ 0 & 1 & 0 & Y_m + Y_y \\ 0 & 0 & 1 & Y_z \\ 0 & 0 & 0 & 1 \end{bmatrix}$$

$${}^R T_{Z,ideal} = \begin{bmatrix} 1 & 0 & 0 & Z_x \\ 0 & 1 & 0 & Z_y \\ 0 & 0 & 1 & Z_m + Z_z \\ 0 & 0 & 0 & 1 \end{bmatrix}$$

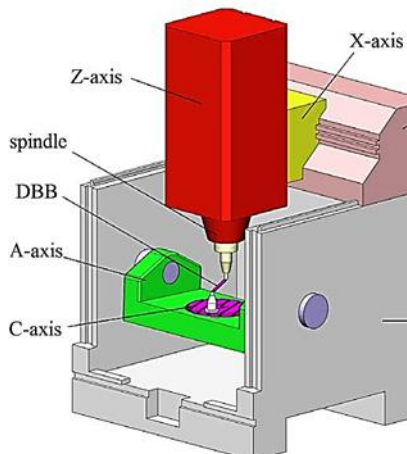
که در آن X_m و Y_m و Z_m نشان‌دهنده موقعیت خطی سینماتیکی محورهای X، Y و Z با توجه به سیستم مختصات مرجع R هستند. X_y و X_Z جابجایی‌های ثابت در جهت‌های X، Y و Z هستند. مبدأ سیستم‌های مختصات محور X نسبت به سیستم مختصات مرجع R، به ترتیب نمادهای مشابه برای Y_X ، Y_y و Y_Z در ${}^R T_{Z,ideal}$ استفاده می‌شود. به طور مشابه، HTM های محورهای چرخشی (A، B و C) عبارتند از:

$${}^R T_{A,ideal} = \begin{bmatrix} 1 & 0 & 0 & A_x \\ 0 & \cos \theta_a & -\sin \theta_a & A_y \\ 0 & \sin \theta_a & \cos \theta_a & A_z \\ 0 & 0 & 0 & 1 \end{bmatrix}$$

$${}^R T_{B,ideal} = \begin{bmatrix} \cos \theta_b & 0 & \sin \theta_b & B_x \\ 0 & 1 & 0 & B_y \\ -\sin \theta_b & 0 & \cos \theta_b & B_z \\ 0 & 0 & 0 & 1 \end{bmatrix}$$

$${}^R T_{C,ideal} = \begin{bmatrix} \cos \theta_c & -\sin \theta_c & 0 & C_x \\ \sin \theta_c & \cos \theta_c & 0 & C_y \\ 0 & 0 & 1 & C_z \\ 0 & 0 & 0 & 1 \end{bmatrix}$$

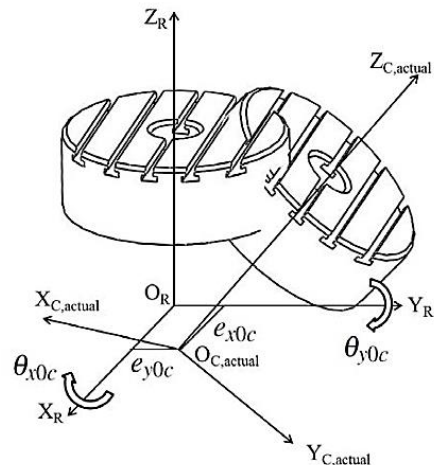
جایی که θ_a ، θ_b و θ_c ، به ترتیب موقعیت‌های زاویه‌ای سینماتیکی محورهای A، B و C نسبت به سیستم مختصات مرجع R هستند. A_x ، A_y و A_z ، به ترتیب جابجایی‌های ثابت در جهت‌های X، Y و Z مبدأ سیستم‌های مختصات محور A نسبت به سیستم مختصات مرجع R هستند. نمادهای مشابه برای B_x ، B_y و B_z در ${}^R T_{B,ideal}$ استفاده می‌شود. موقعیت و میزان چرخش واقعی محورها به دلیل PIGE ها تحت تأثیر قرار می‌گیرند. برای شناسایی واضح همه منابع خطای HTM هر جزء یا محوری که با سرو موتور حرکت می‌کند به عنوان مضاربی از HTM های اولیه، که شامل پارامترهای سینماتیکی و PIGE ها است بیان می‌شود. به عنوان مثال، میز چرخشی محور C به طور اسامی حول خط مرکزی محور C می‌چرخد و موقعیت و جهت آن تحت تأثیر دو خطای موقعیتی e_{xoc} و e_{yoc} دو خطای چرخشی θ_{xoc} و θ_{yoc} قرار می‌گیرد. PIGE های محور C را می‌توان در شکل ۱-۳ مشاهده کرد که دستگاه مختصات میز محور C در دو دستگاه مختصات که یکی دستگاه مختصات مرجع O_R است و دیگری دستگاه مختصات واقعی $O_{C,actual}$



شکل ۸) ساختار سینماتیک ماشین ابزار

شکل ۸ ساختار سینماتیک ماشین ابزار را با دستگاه‌های مختصات الحاق شده بر روی اجزای مختلف ماشین ابزار نشان می‌دهد. شکل ۹ موقعیت نسبی بین هر دو دستگاه مختصات مجاور را نشان می‌دهد. زنجیره سینماتیکی مت Shank از اتصالات حرکت خطی و چرخشی به صورت متواال است. انتهای زنجیره سینماتیک نوک ابزار در ناحیه اسپیندل است (مرکز ابزار گیر اسپیندل). قسمت مخروطی ابزار به اسپیندل متصل شده و اسپیندل بر روی اسلاید محور Z نصب شده است. اسلاید محور Z به صورت عمودی نسبت به اسلاید محور X حرکت می‌کند که نسبت به اسلاید محور Y به صورت عمودی حرکت می‌کند. اسلاید محور Y یک حالت دروازه‌ای متحرک در سراسر بدنه اصلی دستگاه است که توسط دو عدد لینیر گاید موازی پشتیبانی می‌شود. انتهای دیگر زنجیره سینماتیکی از کره اتکا با میز اتکا متصل به میز چرخشی محور C شروع می‌شود. کره اتکا با میز دورا حول خط مرکزی محور C می‌چرخد. میز چرخشی محور C روی محور گهواره‌ای A طراحی شده است که با استفاده از مکانیسمی خاص نصب می‌شود.

مدل سازی با تعریف دستگاه مختصات مرجع R شروع می‌شود. نقطه‌ای که محورهای A و C به طور اسامی باهم تلاقی می‌کنند به عنوان مبدأ دستگاه مختصات مرجع O_R انتخاب می‌شود. این نقطه مرکز دوران نامیده می‌شود.



شکل ۹) بستر آزمایش مورد استفاده در این مطالعه

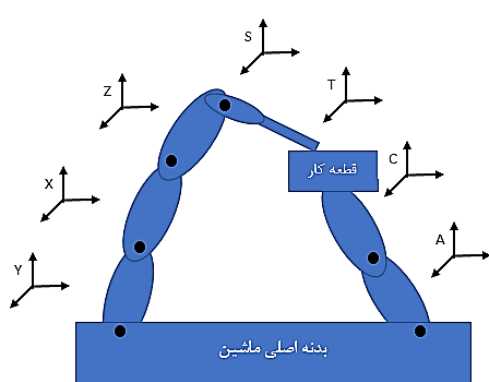
ارزیابی خط آزمون‌های بالبار

پس از شناسایی HTM ها برای هر محور جداگانه، گام بعدی ساختن مدل ماشین ابزار با آن‌هاست. شکل ۷ بستر آزمایش مورد استفاده در این مطالعه را نشان می‌دهد، یک ماشین ابزار ۵ محوره AWEA FMV99.

یک ماشین ابزار چرخشی ۵ محوره میز چرخشی AWEA FMV99 از سه محور خطی X, Y و Z و دو محور چرخشی A و C تشکیل شده است که به ترتیب چرخش حول محورهای X و Z هستند. این نوع ماشین ابزار ۵ محوره را می‌توان ترکیبی از یک ماشین ابزار ۳ محوره پیکربندی شده در یک سیستم مختصات دکارتی استاندارد و یک میز چرخشی گهواره‌ای در قسمت پایینی بدنه دستگاه مشاهده کرد. برای تجزیه تحلیل یک ماشین ابزار از زنجیره سینماتیکی که بین اجزا وجود دارد استفاده می‌شود. برای درک بهتر زنجیره سینماتیکی در شکل ۸ زنجیره سینماتیکی یک ماشین ابزار ۵ محوره A/C نشان داده شده است. که نحوه قرارگیری ابزار، قطعه کار و سایر اجزا محورها و نحوه ارتباط بین آن‌ها مشخص شده است. راستای جابجایی هر محور با یک دستگاه مختصات نشان داده شده است. ابزار برای برداری به سه محور خطی متصل و درنهایت به بدنه ماشین متصل می‌شود. قطعه کار از طریق دو محور چرخشی به بدنه ماشین متصل می‌شود تا زنجیره سینماتیکی کامل شود.

زنجره سینماتیکی یک ماشین ابزار ۵ محوره A/C

نمای شماتیک ساختار ماشین ابزار ۵ محوره AWEA FMV99



شکل ۱۱) نجیره سینماتیکی یک ماشین ابزار ۵ محور A/C

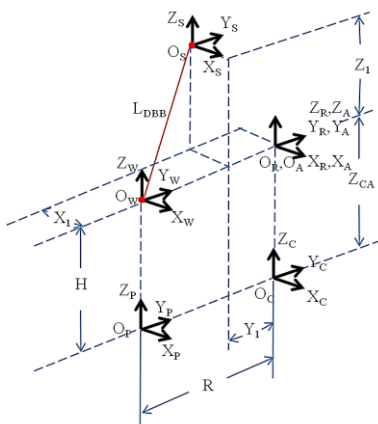
کره اتکا بالبار $O_p O_W$ در شکل‌های ۱۰ و ۱۱) به سطح میز چرخشی محور C متصل می‌شود و دستگاه مختصات آن تعیین می‌شود که همان ارتفاع Z را با O_c نسبت به دستگاه مختصات مرجع R داشته باشد. اما، موقعیت‌های X و Y به تنظیمات آزمایش وابسته هستند، زیرا هنگام آزمایش محورهای مختلف، کره اتکا در موقعیت‌های متفاوت قرار می‌گیرد. به عنوان مثال، فاصله بین O_p در جهت Y در شکل‌های ۱۰ و ۱۱) برابر با R است. دستگاه مختصات قطعه کار W به مرکز کره اتکا اختصاص داده می‌شود. فاصله از مرکز کره اتکا تا پایین کره اتکا در امتداد کره اتکا، یعنی در شکل ۱۰ و ۱۱) با H نشان داده می‌شوند.

روابط بین دستگاه‌های مختصات مختلف در این حالت، محورهای خطی X، Y و Z بدون خطا در نظر گرفته می‌شوند، زیرا محورهای خطی با روش‌های موجود به راحتی قابل اندازه‌گیری هستند و با کنترل‌کننده‌های CNC فعلی جبران می‌شوند. بنابراین تنها موقعیت ابزار فنجانی شکل اسپیندل با توجه به دستگاه مختصات مرجع R در این مدل ماشین ابزار در نظر گرفته شده است.

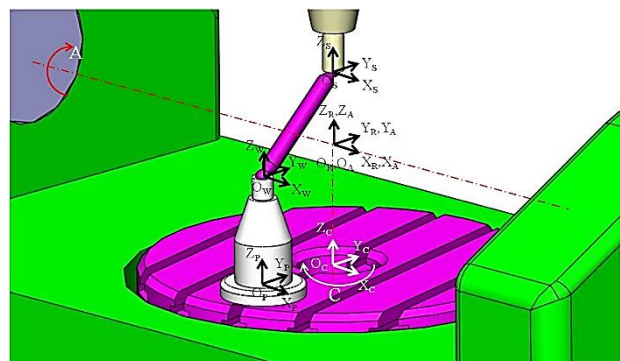
خطاهای در ابزار فنجانی شکل و کره اتکا در مرحله مدل‌سازی در نظر گرفته نمی‌شوند زیرا می‌توان آن‌ها را در فرآیند محاسبه خطا حذف یا جبران کرد. بنابراین خطاهای این دو در موقعیت در مراحل مدل‌سازی در نظر گرفته نمی‌شوند.

با توجه به ساختار سینماتیکی و ابعاد ارائه شده در شکل‌های ۱۰ و ۱۱، HTM ها برای هر جزء در زنجیره سینماتیک را می‌توان به صورت زیر به دست آورد. HTM میز گهواره‌ای محور A حاصل ضرب یک PIGE برای HTM ها و یک HTM برای چرخش سینماتیک حول محور A است.

جایی که θ_a موقعیت زاویه‌ای سینماتیک گهواره‌ای محور A است. PIGE موقعیت محور A در جهت Y و Z هستند. θ_{z0a} و θ_{y0a} دو جهت‌گیری محور A به ترتیب در مورد محورهای Y و Z هستند.



شکل ۹) موقعیت نسبی بین هر دو دستگاه مختصات مجاور

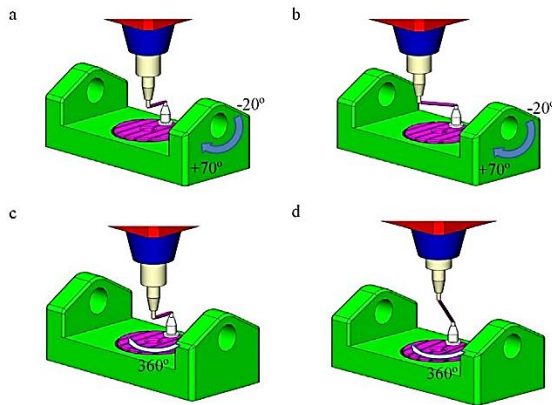


شکل ۱۰) موقعیت دستگاه مختصات برای اجزای زنجیره سینماتیک

محورهای X، Y و Z دستگاه مختصات مرجع موازی با جهت حرکت اسلامی‌های X، Y و Z انتخاب می‌شوند. هنگامی که میز گهواره‌ای محور A در حالت کاملاً افقی تنظیم می‌شود (موقعیت زاویه‌ای که توسط سرو موتور کنترل می‌شود $\theta_A = 0$)، دستگاه مختصات محور A با دستگاه مختصات R بر هم منطبق هستند. دستگاه مختصات میز چرخشی محور C به آن الحاق می‌شود که سطح میز محور C، با مبدأ O_c دارای همان مختصات X و Y با O_R در دستگاه مختصات مرجع R است. فاصله بین O_c و O_R در امتداد جهت محور Z در چارچوب مختصات مرجع R برابر با Z_{CA} است. مرکز ابزار در اسپیندل به عنوان مبدأ دستگاه مختصات اسپیندل S انتخاب شده است.

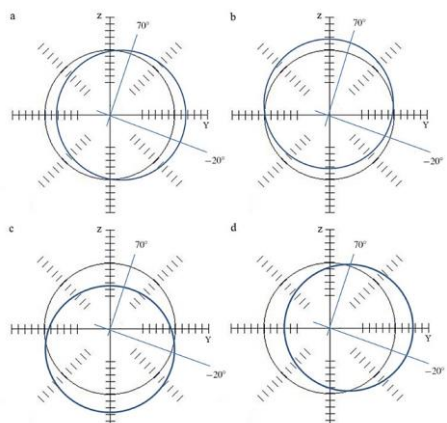
دستگاه مختصات دارای افست‌های X1، Y1 و Z1 به ترتیب در جهت X، Y و Z دستگاه مختصات مرجع R است.

تجزیه و تحلیل خطاهای هندسی ماشین فرز پنج محور

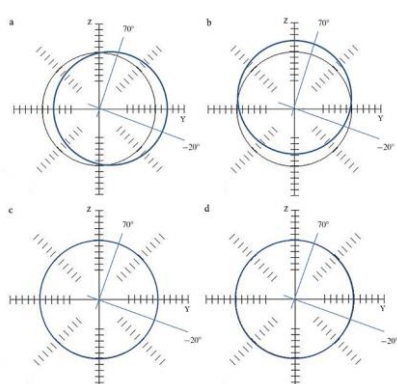


شکل ۱۲) چهار مرحله آزمون. (الف) آزمون محور A بدون میله افزایش طول. (ب) آزمون محور A با میله افزایش طول. (ج) آزمون محور C بدون میله افزایش طول. (د) آزمون محور C با میله افزایش طول

شکل‌های ۱۳ و ۱۴ الگوهای ریدیابی بالبار را نشان می‌دهند که توسط PIGE‌های مختلف دو مرحله آزمایش محور A تحت تأثیر قرارگرفته‌اند.



شکل ۱۳) الگوهای ریدیابی خطای بالبار آزمون محور A بدون میله افزایش طول ناشی از (الف) (ب) (ج) (د) θ_{z0a} , e_{y0c} , e_{x0c} , e_{y0a} و θ_{y0a} [۵] میکرومتر.



شکل ۱۴) الگوهای ریدیابی خطای بالبار آزمایش محور A با میله افزایش طول ناشی از (الف) (ب) (ج) (د) θ_{z0a} , e_{y0c} , e_{x0c} , e_{y0a} و θ_{y0a} [۵] میکرومتر.

$${}^R T_A = \begin{bmatrix} 1 & -\theta_{z0a} & \theta_{y0a} & 0 \\ 0 & 1 & 0 & e_{y0a} \\ -\theta_{y0a} & 0 & 1 & e_{x0a} \\ 0 & 0 & 0 & 1 \end{bmatrix} \begin{bmatrix} 1 & 0 & 0 & 0 \\ 0 & \cos \theta_c & -\sin \theta_c & 0 \\ 0 & \sin \theta_c & \cos \theta_c & 0 \\ 0 & 0 & 0 & 1 \end{bmatrix} (2-۳)$$

بهطور مشابه، MIZ چرخشی محور C بهصورت زیر است:

$${}^R T_C = \begin{bmatrix} 1 & 0 & \theta_{y0c} & e_{x0c} \\ 0 & 1 & -\theta_{x0c} & e_{y0c} \\ -\theta_{y0c} & \theta_{x0c} & 1 & 0 \\ 0 & 0 & 0 & 1 \end{bmatrix} \begin{bmatrix} \cos \theta_c & -\sin \theta_c & 0 & 0 \\ \sin \theta_c & \cos \theta_c & 0 & 0 \\ 0 & 0 & 1 & -Z_{CA} \\ 0 & 0 & 0 & 1 \end{bmatrix} (3-۳)$$

که در آن θ_c موقعیت زاویه‌ای سینماتیکی میز دوار محور C است. فاصله بین O_P و O_C است. e_{y0c} , e_{x0c} و θ_{y0c} موقعیت محور C در جهت X و Y هستند. θ_{x0c} و θ_{y0c} در PIGE چرخشی محور C به ترتیب در مورد محورهای X و Y هستند. تبدیل از دستگاه مختصات محوری P به دستگاه مختصات میز چرخشی محور C بهصورت زیر ارائه می‌شود:

$${}^C T_P = \begin{bmatrix} 1 & 0 & 0 & 0 \\ 0 & 1 & 0 & -R \\ 0 & 0 & 1 & 0 \\ 0 & 0 & 0 & 1 \end{bmatrix} (4-۳)$$

که در آن R فاصله بین O_P و O_C در جهت Y سیستم مختصات محور C است. موقعیت O_W در دستگاه مختصات محوری P است.

$$(5-۳) {}^P V_{OW} = [0 \ 0 \ H \ 1]^T$$

و موقعیت O_S در دستگاه مختصات مرجع R :

$${}^R V_{OS} = [-X_1 \ 0 \ -Y_1 \ -Z_1 \ 1]^T (6-۳)$$

با توجه به، یک زنجیره سینماتیک بسته را می‌توان بهعنوان یک "گراف تبدیل" نشان داد (شکل ۱۲). هر خط عمودی کوتاه نشان‌دهنده یک دستگاه مختصات است که بر روی اجزای ماشین انتخاب شده در زنجیره سینماتیکی الحق شده است. فلشی که از یک خط عمودی به خط دیگر اشاره می‌کند، نشان‌دهنده تبدیل از یک مختصات به مختصات بعدی است. بنابراین موقعیت نوک ابزار با توجه به سیستم مختصات مرجع R را می‌توان بر اساس HTM های داده شده و نمودار تبدیل به دست آورد.

بر اساس چهار مرحله آزمون پیشنهادی، برخی از مشخصات کلیدی ماشین ابزار و بالبار و همچنین شرایط شبیه‌سازی در جدول ۱ آورده شده است.

جدول ۱) پارامترهای شبیه‌سازی

مقدار	پارامتر
۱۰۰	طول اسمی بالبار (mm)
۱۵۰	طول اسمی بالبار با میله افزایش طول (mm)
۱۰	e_{z0a} , e_{y0c} , e_{x0c} (میکرومتر)
0.01	θ_{z0a} , θ_{y0a} , θ_{y0c} , θ_{x0c} (درجه)
100	شعاع مورد آزمایش (mm)
75	فاصله بین O_C و $O_R Z_{CA}$ (mm)
75	فاصله مرکز کره اتکا تا کف میز (H)

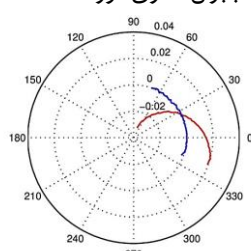
چهار مرحله روش پیشنهادی در شکل ۷-۳ نشان داده شده است.

طول) از محورهای مختلف مشابه است، ازین‌رو روش زیر را می‌توان برای هر دو محور اعمال کرد. در اینجا محور A برای نشان دادن استخراج خطاهای موقعیت انتخاب شده است. برای آزمایش محور C بدون میله افزایش طول این روش با یک تغییر ساده صفحه آزمایش از YZ به XY نیز معتبر است.

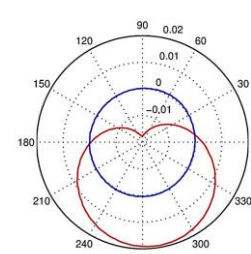
مرحله اول شامل یک حرکت 110° درجه بالبار است. داده‌های اندازه‌گیری شده بالبار، حاصل فواصل بین موقعیت کره نسبت شده در اسپیندل و کره بسته شده روی میز است. مسیر حرکتی بالبار، که توسط دو کره تشکیل شده است، در یک صفحه باقی می‌ماند، و یک حرکت دایره‌ای در یک صفحه انجام می‌شود. مسیر حرکتی بالبار به خاطر خطای اثر موقعیت و چرخش PIGE‌ها از مرکز اسمی خود فاصله می‌گیرد.

برای روش پیشنهادی که بر روی یک ماشین ابزار ۵ محوری AWEA FM99U آزمایش شده است. یک حرکت زاویه‌به مقدار زیاد قبل و بعد از شروع کمان جمع‌آوری داده‌ها در همه آزمون‌ها ارائه شده است. هدف از این حرکت زاویه‌ای ابتدایی و انتهایی این است که به ماشین اجازه می‌دهد قبل از شروع به حرکت بالبار در زمان پیمایش حرکت دایره‌ای و جمع‌آوری داده، شتاب موردنیاز جهت رسیدن به میزان پیشروی موردنیاز قبل از شروع ثبت داده و بعد از پایان ثبت داده را می‌دهد. بنابراین برای آزمون‌های محور C، زاویه 45° درجه توصیه شده اعمال شد. با این حال، برای آزمایش‌های محور A، از آنجایی که بالبار فقط در یک قوس 90° درجه حرکت می‌کند، زوایای بیش از حد بزرگ دیگر امکان‌پذیر نیست.

شکل ۱۶ نتیجه آزمایش محور A با جبران سازی و بدون جبران سازی آورده شده است. همچنین شکل ۱۷ نتیجه آزمون محور C با جبران سازی و بدون جبران سازی آورده شده است.



شکل ۱۶) نتیجه آزمایش محور A با جبران سازی (آبی) و بدون جبران سازی (قرمز) (اعداد به میلی‌متر هستند)



شکل ۱۷) نتیجه آزمون محور C با جبران سازی (آبی) و بدون جبران سازی (قرمز) (اعداد به میلی‌متر هستند)

برای شناسایی و مشخص کردن PIGE محورهای چرخشی یک ماشین ابزار ۵ محوره، یک رویکرد اندازه‌گیری با استفاده از یک بالبار در این بخش ارائه شده است. شکل ۱۵ نمای کلی ماشین ۵ محور مورد آزمایش را نشان می‌دهد.



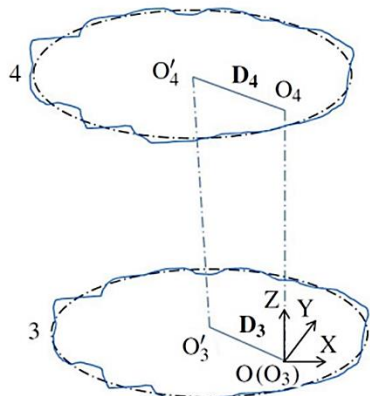
شکل ۱۵) نمای کلی ماشین ۵ محور مورد آزمایش

ایده استفاده از یک بالبار با و بدون میله افزایش طول برای تعیین PIGE‌های یک محور چرخشی در دو مرحله در بخش قبلی ارائه شده است. برای اهداف راستی آزمایش، یک مدل آزمایشی منتشرشده برای آزمایش همین دستگاه ارائه شده است. PIGE‌ها با یک بالبار، با نتایج به دست آمده در فصل‌های قبلی مقایسه شدند. اثربخشی روش منتشرشده را می‌توان از تفاوت بین نمودارهای خطای بالبار با و بدون جبران PIGE‌های شناسایی شده مشاهده کرد.

آزمون چهار مرحله‌ای و تنظیمات آن در این بخش توضیح داده شده است. آزمایش در چهار مرحله، دو مرحله برای هر محور، انجام شد. هنگام آزمایش محور A، دو موقعیت محوری ۱ و ۲ که با توجه به صفحه YZ نسبت به RCS متقارن هستند به ترتیب برای مراحل اول و دوم انتخاب شدند. کره انتکا (چرخش گاه) به میز گهواره‌ای محور A وصل شد تا از مبدأ RCS دور باشد. ابزار فنجانی شکل مستقر در اسپیندل با محور A تراز شد و دارای همان مختصات X به عنوان مرکز فنجانی ابزار محوری بود. در طول هر دو اندازه‌گیری، ابزار فنجانی شکل در اسپیندل و در یک راستا با محور اسمی A نگهداشته شد، درحالی‌که کره انتکا (چرخش گاه) با میز محور A حول محور A می‌چرخد. فقط محور A در طول آزمایش چرخید و ارزیابی دقیقی از موقعیت PIGE‌های محور A ارائه داد.

از آنجایی‌که دقیقت هر دو (ابزار فنجانی شکل و کره انتکا) مستعد خطا است، کالیبراسیون ابزار فنجانی شکل پس از تنظیم موقعیت‌های محوری انجام شد.

تجزیه و تحلیل خطای روش پیشنهادی در این پژوهش
برای آزمون‌های با و بدون میله افزایش طول، فرآیندهای مدل‌سازی و تجزیه و تحلیل خطاهای متفاوت است. با این حال، تجزیه و تحلیل برای یک نوع آزمایش (با یا بدون میله افزایش



شکل ۱۹) دو مسیر آزمایش‌های محور C در موقعیت‌های ۳ و ۴

روش پیشنهادی بر روی همان ماشین ابزار ۵ محوری AWEA با شرایط آزمایش مشابه اجرا شد. مشخصات آزمایش در جدول ۴ آورده شده است. آزمون‌های چهار مرحله‌ای پس از مرحله گرم کردن ۲۰ دقیقه‌ای ماشین ابزار انجام شد. نتایج پس از اینکه تکرارپذیری آزمون در حد تولرانس بود (۱ میکرومتر برای PIGE های موقعیت و ۱۰۰ ثانیه برای PIGE های چرخشی) ثبت شد. نتایج در جداول ۵ و ۶ آورده شده است. شکل ۲۰ و ۲۱ الگوهای ریدیابی بالبار را قبل و بعد از جبران نشان می‌دهد.

جدول ۴) مشخصات آزمون بالبار

مقادیر	پارامترها
-۱۰۰ درجه	بازه حرکتی محور چرخشی A
-۱۰ تا +۱۰ درجه	بازه حرکتی محور چرخشی C
۴۵۰ درجه	طول اسمی _a , R_a (میلی‌متر)
۱۰۰	طول کالیبره _c بدون میله افزایش طول (میلی‌متر)
۹۹/۹۸۸ درجه	حرکت زاویه اضافی محور B (درجه)
۴۵ درجه	حرکت زاویه اضافی محور C (درجه)
۲ درجه	میزان پیشروعی (میلی‌متر بر دقیقه)
۵۰۰	آفست _A (میلی‌متر)
۵۵۰	آفست _B (میلی‌متر)
۷۸	آفست _C (میلی‌متر)

جدول ۵) نتیجه آزمون برای PIGE های موقعیتی

پارامترها	میزان انحراف (میلی‌متر)	میانگین (میلی‌متر)
e_{y0a}	۰/۰۳۴۲	۰/۰۰۰۸
e_{z0a}	-۰/۰۳۵۳	۰/۰۰۰۳۷
e_{x0c}	۰/۰۰۱۳	۰/۰۰۱۵
e_{y0c}	-۰/۰۵۲۵	۰/۰۰۶۰

جدول ۶) نتیجه آزمون برای PIGE های چرخشی

پارامترها	میزان انحراف (ثانیه)	میانگین (ثانیه)
θ_{y0a}	۰/۰۳۴۵	۰/۱۳۳
θ_{z0a}	-۰/۰۳۵۶	۰/۰۰۰۲
θ_{x0c}	۰/۰۰۱۴	۰/۰۰۰۱۲
θ_{y0c}	-۰/۰۵۱۳	۰/۰۰۰۶

در جدول ۲ نتیجه آزمون برای PIGE های موقعیتی و جدول ۳ نتیجه آزمون برای PIGE های چرخشی آورده شده است.

جدول ۲) نتیجه آزمون برای PIGE های موقعیتی

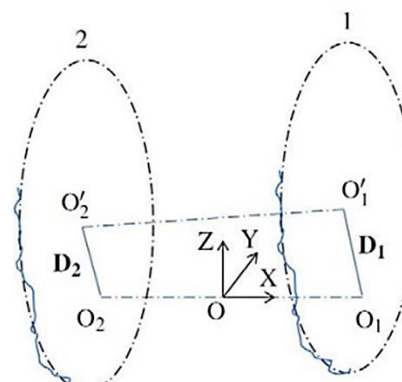
پارامترها	میانگین (میلی‌متر)	میزان انحراف (میلی‌متر)
e_{y0a}	۰/۰۳۴۲	۰/۰۰۰۸
e_{z0a}	-۰/۰۳۵۳	۰/۰۰۰۳۷
e_{x0c}	۰/۰۰۱۳	۰/۰۰۱۵
e_{y0c}	-۰/۰۵۲۵	۰/۰۰۶۰

جدول ۳) نتیجه آزمون برای PIGE های چرخشی

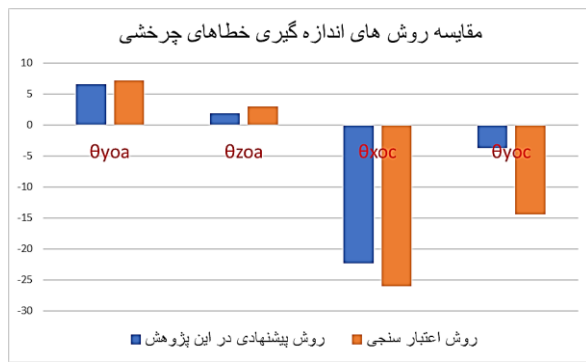
پارامترها	میانگین (ثانیه)	میزان انحراف (ثانیه)
θ_{y0a}	۰/۶۶۲	۰/۵۷۷
θ_{z0a}	۱/۸۹	۰/۳۸۸
θ_{x0c}	-۲۲/۳۳	۰/۴۸۹
θ_{y0c}	-۳/۷۷۵	۰/۵۲۷

آزمایش‌های دایره‌ای مسطح برای اندازه‌گیری فاصله مرکزی چهار مسیر دایره‌ای در چهار موقعیت ارائه شده است. افست‌های مرکزی، یعنی PIGE های موقعیت محلی، به دلیل تأثیرات RCS یکسان چرخشی، کاملاً با موارد اندازه‌گیری شده با توجه به RCS یکسان نیستند. از آنجایی که خطوط مستقیم مرجع محورهای چرخشی به سیستم مختصات انتخاب شده متکی نیستند، PIGE های چرخشی بدون توجه به موقعیت‌های آزمایشی یکسان هستند.

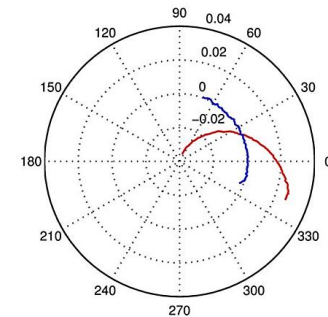
در شکل ۱۸ دو مسیر آزمایش‌های محور A در موقعیت‌های ۱ و ۲ و در شکل ۱۹ دو مسیر آزمایش‌های محور C در موقعیت‌های ۳ و ۴ آورده شده است.



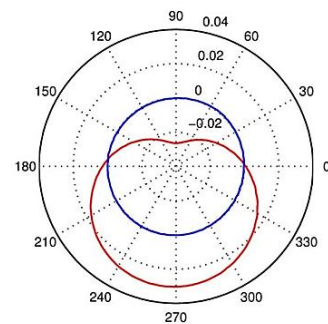
شکل ۱۸) دو مسیر آزمایش‌های محور A در موقعیت‌های ۱ و ۲



شکل ۲۳) مقایسه روش های اندازه گیری خطاهای چرخشی



شکل ۲۰) نتیجه آزمایش محور A با (آبی) و بدون جبران (قرمز) (.mm)



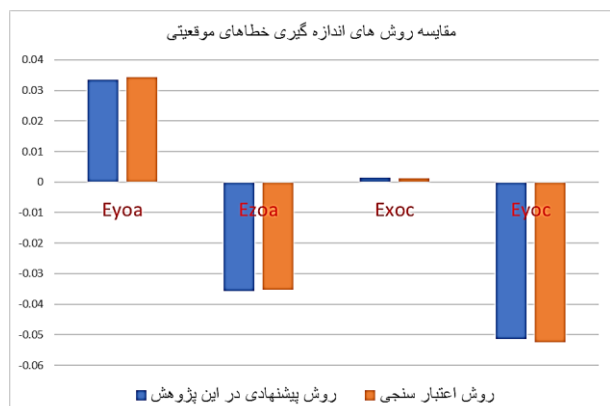
شکل ۲۱) نتیجه آزمایش محور A با (آبی) و بدون جبران (قرمز)

مقایسه نتایج

همان ایده آزمایشی برای فصل سوم اعمال شد که در آن محورهای چرخشی با استفاده از یک بالبار با میله افزایش طول و بدون آن اندازه گیری شدند. تفاوت بین این دو روش در موقعیت کره اتکا روی میز است.

مقایسه دو روش نشان می دهد که موقعیت PIGE ها در تلوارانس های داده شده متفاوت است در حالی که PIGE های چرخشی بسیار متفاوت است. این به دلایل مختلفی است.

مقایسه روش های اندازه گیری خطاهای موقعیتی در شکل ۲۲ و مقایسه روش های اندازه گیری خطاهای چرخشی در شکل ۲۳ آورده شده است.



شکل ۲۲) مقایسه روش های اندازه گیری خطاهای موقعیتی

مراجع

- Uddin, M.S. Tool path modification approaches to enhance machining geometric accuracy in 3-axis and 5-axis machining. (PhD Thesis), Kyoto University, Kyoto, Japan (2007).
- Theeuws, F.C.C.J.M. Enhancement of machine tool accuracy: theory and implementation. (PhD Thesis), Eindhoven University of Technology, Eindhoven, Netherlands (1991).

-
- of Machine Tools and Manufacture, 2013; 70, 45-52.
- 5- Tlusty, J. Ziegert, J. Ridgeway, S. fundamental comparison of the use of serial and parallel kinematics for machine tools. Annals of CIRP, 1999, 48, 351-6.
- 6- Liu, H. Li, B. Wang, X. Tan, G. Characteristics of and measurement methods for geometric errors in CNC machine tools. International Journal of Advanced Manufacturing Technology, 2011; 54, 195-201.
- 3- Ramesh, R. Mannan, M.A. Poo, A.N. Error compensation in machine tools — a review: Part I: geometric, cutting-force induced and fixture-dependent errors. International Journal of Machine Tools and Manufacture, 2000; 40, 1235-6.
- 4- Lee, K.I. Yang, S.H. Measurement and verification of position-independent geometric errors of a five-axis machine tool using a double ball-bar. International Journal of Advanced Manufacturing Technology, 2011; 54, 195-201.